DOI: 10.36488/cmac.2024.1.31-39

Оригинальная статья

# Микробиологическая активность тиамфеникола и тиамфеникола глицината ацетилцистеината в отношении клинически значимых микроорганизмов и образуемых ими биопленок

Карпова Е.В.<sup>1</sup>, Колчанова Н.Э.<sup>1</sup>, Петровская Т.А.<sup>1</sup>, Тапальский Д.В.<sup>2</sup>

- <sup>1</sup> УО «Гомельский государственный медицинский университет», Гомель, Беларусь
- <sup>2</sup> ГНУ «Институт физиологии НАН Беларуси», Минск, Беларусь

Контактный адрес: Дмитрий Викторович Тапальский Эл. почта: tapalskiy@yandex.ru

Ключевые слова: тиамфеникол, хлорамфеникол, N-ацетилцистеин, Streptococcus pneumoniae, Staphylococcus aureus, Klebsiella pneumoniae, биопленка.

Конфликт интересов: статья подготовлена при финансовой поддержке компании Zambon. В статье выражена позиция авторов, которая может отличаться от позиции компании Zambon.

Внешнее финансирование: исследование проведено при финансовой поддержке компании Zambon.

**Цель.** Определить минимальные подавляющие концентрации тиамфеникола и тиамфеникола глицината ацетилцистеината в отношении клинически значимых микроорганизмов и определить эффективность их воздействия на микроорганизмы в составе биопленок.

Материалы и методы. В исследование включены 48 клинических изолятов микроорганизмов, выделенных из мокроты пациентов с инфекциями дыхательных путей (по 16 изолятов *S. pneumoniae*, *K. pneumoniae* и *S. aureus*). Определение чувствительности к антибиотикам выполнено методом последовательных микроразведений в бульоне. Оценку интенсивности образования микробных биопленок в присутствии антибиотиков, N-ацетилцистеина и их комбинаций выполняли в 96-луночных планшетах в бульоне Мюллера-Хинтон и сердечно-мозговом бульоне с фиксацией биопленок 2,5% раствором глютаральдегида, окрашиванием 0,25% раствором кристаллического фиолетового и экстракцией красителя 33% раствором уксусной кислоты.

**Результаты.** Значения МПК тиамфеникола и тиамфеникола глицината ацетилцистеината (в пересчете на тиамфеникол) совпадали для 87.5% штаммов. Показана высокая микробиологическая активность тиамфеникола и тиамфеникола глицината ацетилцистеината в отношении штаммов S. pneumoniae (МПК $_{50}$  0,5 мг/л, МПК $_{90}$  1–2 мг/л). Обработка хлорамфениколом, тиамфениколом, тиамфениколо глицинатом ацетилцистеинатом, комбинацией хлорамфеникола и тиамфеникола с N-ацетилцистеином приводила к значимому снижению значений оптической плотности биопленок S. pneumoniae. Добавление тиамфеникола увеличивало интенсивность биопленкообразования у ряда устойчивых к нему штаммов S. aureus и K. pneumoniae, дополнительное внесение N-ацетилцистеина нивелировало данный эффект.

**Выводы.** Показано потенцирование антибактериальной активности тиамфеникола в присутствии N-ацетилцистеина в отношении биопленок, образованных штаммами *S. pneumoniae*.

Original Article

## Microbiological activity of thiamphenical and thiamphenical glycinate acetylcysteinate against clinically significant microorganisms and their biofilms

Karpova E.V.<sup>1</sup>, Kolchanova N.E.<sup>1</sup>, Petrovskaya T.A.<sup>1</sup>, Tapalski D.V.<sup>2</sup>

- <sup>1</sup> Gomel State Medical University, Gomel, Belarus
- <sup>2</sup> Institute of Physiology of the National Academy of Sciences of Belarus, Minsk, Belarus

Contacts: Dmitry V. Tapalski E-mail: tapalskiy@yandex.ru

Key words: thiamphenicol, chloramphenicol, N-acetylcysteine, Streptococcus pneumoniae, Staphylococcus aureus, Klebsiella pneumoniae, biofilm.

Conflicts of interest: this article is supported by Zambon. The opinion expressed in the article is that of the authors and may not reflect the opinions of Zambon.

External funding source: the study was supported by Zambon.

**Objective.** To determine the minimum inhibitory concentrations of thiamphenical and thiamphenical glycinate acetylcysteinate against clinically significant microorganisms and determine their efficacy against microbial biofilms.

**Materials and methods.** This study included 48 clinical strains isolated from the sputum of patients with respiratory tract infections (16 *S. pneumoniae, K. pneumoniae* and *S. aureus* strains). Antimicrobial susceptibility testing was performed using broth microdilution method. Biofilm formation culturing with antibiotics, N-acetylcysteine and their combinations was assessed in Mueller-Hinton broth and brain heart broth in 96-well plates. Biofilms are fixed with 2,5% glutaraldehyde solution, stained with 0,25% crystal violet solution, which is extracted by 33% acetic acid solution.

**Results.** The MIC of thiamphenicol and thiamphenicol glycinate acetylcysteinate (in terms of thiamphenicol) were the same for 87,5% of strains. Thiamphenicol and thiamphenicol glycinate acetylcysteinate have been confirmed high antimicrobial activity against *S. pneumoniae* strains (MIC<sub>50</sub> 0,5 mg/l, MIC<sub>90</sub> 1-2 mg/l). Cultivation with chloramphenicol, thiamphenicol, thiamphenicol glycinate acetylcysteinate, combination of chloramphenicol and thiamphenicol with N-acetylcysteine contributed to significant reduction in the

Карпова Е.В. и соавт.

АНТИМИКРОБНЫЕ ПРЕПАРАТЫ KMAX · 2024 · Том 26 · №1

optical density of *S. pneumoniae* biofilms. Thiamphenicol increased biofilm formation in some resistant *S. aureus* and *K. pneumoniae*. Combination based on N-acetylcysteine neutralized this effect. **Conclusions.** Potentiation of antibacterial activity of thiamphenicol by N-acetylcysteine against *S. pneumoniae* biofilms has been shown.

### Введение

Тиамфеникол – антибиотик синтетического происхождения из группы амфениколов, является метилсульфонильным аналогом хлорамфеникола. Механизм действия тиамфеникола заключается в ингибировании трансляции белка путем блокирования связи мРНК с рибосомами, что препятствует их функционированию. В спектр антибактериальной активности тиамфеникола входят стафилококки, стрептококки (включая Streptococcus pneumoniae), клостридии, Bacteroides spp., Corynebacterium diphtheriae, Listeria monocytogenes, Bordetella pertussis, Haemophilus influenzae, Brucella spp., нейссерии и энтеробактерии. Отмечена активность тиамфеникола в отношении внутриклеточных микроорганизмов [1]. По своей антибактериальной эффективности он превосходит хлорамфеникол, при этом лишен ряда недостатков последнего [2]. Тиамфеникол является единственным антибиотиком в группе амфениколов, не имеющим гематологической токсичности. Тиамфеникол активен в отношении многих штаммов, устойчивых к бета-лактамным антибиотикам. Чувствительность S. pneumoniae, H. influenzae, Chlamydophila pneumoпіае (основных возбудителей респираторных инфекций) к нему выше, чем к макролидам, тетрациклинам и ко-тримоксазолу. В российском исследовании отмечена высокая in vitro активность тиамфеникола в отношении штаммов Н. influenzae, S. pneumoniae и Streptococcus pyogenes, включая штаммы S. pneumoniae со сниженной чувствительностью к пенициллину и устойчивостью к макролидам [3].

Глицинат тиамфеникола – модификация тиамфеникола с лучшей растворимостью и биодоступностью, предназначенная для парентерального и ингаляционного использования. Тиамфеникол также используется в виде глицината ацетилцистеината (ТГА). Этот сложный эфир после введения парентеральным или аэрозольным путем гидролизуется тканевыми эстеразами с высвобождением тиамфеникола и N-ацетилцистеина (NAC) [4]. ТГА обладает сочетанным противомикробным и муколитическим действием и используется для лечения заболеваний органов дыхания, вызванных чувствительными к тиамфениколу микроорганизмами и сопровождающихся образованием секрета [5, 6].

Предполагается, что острые инфекции связаны преимущественно с планктонными бактериями, которые обычно поддаются лечению антибиотиками. Однако в тех случаях, когда бактериям удается сформировать биопленку в макроорганизме, инфекция переходит в хроническую форму и часто приобретает устойчивость к стандартным схемам терапии [7, 8]. Для практического здравоохранения формирование микробных биопленок представляет определенную опасность, снижая эффективность проводимой терапии и увеличивая затраты на лечение [9]. Показано, что эффективность системных антибиотиков в элиминации биопленок недостаточна, что привело к повышенному интересу к альтернативным стратегиям антимикробного воздействия [10-13]. Перспективными являются исследования в области разработки способов предотвращения формирования биопленок, а также разрушения уже сформированных респираторными патогенами биопленок [13].

**Цель** исследования – определить минимальные подавляющие концентрации тиамфеникола и тиамфеникола глицината ацетилцистеината в отношении клинически значимых микроорганизмов и определить эффективность их воздействия на микроорганизмы в составе биопленок.

### Материалы и методы

В исследование были включены 16 клинических изолятов S. pneumoniae, выделенных из мокроты амбулаторных и стационарных пациентов в г. Гомеле, а также 16 клинических изолятов Klebsiella pneumoniae и 16 изолятов Staphylococcus aureus, выделенных из мокроты госпитализированных пациентов с инфекциями дыхательных путей в нескольких регионах Беларуси (Витебск, Гомель, Могилев, Минск). Отобранные штаммы были выделены в 2021-2023 гг. в диагностически значимых количествах. Первичная идентификация и определение чувствительности к антибиотикам была выполнена в локальных микробиологических лабораториях с использованием автоматических микробиологических анализаторов. До проведения исследований штаммы подвергались криоконсервации и хранились в сердечно-мозговом бульоне с добавлением 30% глицерина при температуре -62°C. В исследование также включены 4 контрольных штамма: S. aureus ATCC 29213, S. pneumoniae ATCC 49619, Escherichia coli ATCC 25922, Pseudomonas aeruginosa ATCC 27853.

Определение чувствительности планктонных форм микроорганизмов к антибиотикам проводили методом микроразведений в бульоне в соответствии с ISO 20776-1:2006 [14].

Для определения способности микроорганизмов к образованию биопленки применяли методику Stepanovic S. и соавт. с незначительными модификаци-

КМАХ · 2024 · Том 26 · №1

ями [15]. В основе метода лежит способность микроорганизмов формировать биопленку на стенках и дне лунок полистиролового планшета и использование растворов красителей для окрашивания элементов биопленки с последующим учетом результатов. Из чистой 18-24-часовой культуры, выросшей на плотной неселективной питательной среде (триптон-соевый агар, кровяной агар), готовили микробную суспензию в стерильном изотоническом растворе хлорида натрия. Оптическую плотность суспензии доводили до 0,5 единиц по стандарту мутности МакФарланда. В лунки 96-луночного плоскодонного полистиролового планшета вносили по 150 мкл бульона Мюллера-Хинтон (Oxoid, Великобритания) и 1 мкл бактериальной суспензии, стартовая концентрация микробных клеток в бульоне составляла 10<sup>6</sup> КОЕ/мл. Для определения способности к образованию биопленки штаммами S. pneumoniae в качестве бульонной питательной среды использовали сердечно-мозговой бульон (Becton Dickinson, Франция). Исследование выполняли в 3 повторах, на один изолят отводили 3 лунки ряда. Отрицательным контролем служили лунки с 150 мкл бульона Мюллера-Хинтон без бактерий. Планшеты инкубировали при 35°C в течение 48 ч.

После инкубации лунки четырехкратно промывали при помощи автоматической мойки, вносили по 150 мкл дистиллированной воды на одну лунку на один цикл. Биопленку фиксировали путем добавления в лунки по 160 мкл 2,5% раствора глютаральдегида (экспозиция в течение 5 мин.). Планшет четырехкратно промывали, используя по 200 мкл дистиллированной воды на одну лунку на один цикл, после чего вносили по 180 мкл 0,25% раствора кристаллического фиолетового на 5 мин. Планшет снова четырехкратно промывали, используя по 200 мкл дистиллированной воды на одну лунку на один цикл, и высушивали в течение 10 мин. Для экстракции сорбированного красителя из биопленки в лунки добавляли по 200 мкл 33% раствора уксусной кислоты, экспозиция при комнатной температуре 10 мин. Оптическую плотность (OD) в лунках определяли на многофункциональном микропланшетном ридере Infinite M200 (TECAN, Швейцария) при длине волны 570 нм.

Значение оптической плотности биопленки (ОПБ) рассчитывали по формуле:

$$\label{eq:one} \mathsf{O\PiB} = \frac{\mathsf{O\Pi}_1 + \mathsf{O\Pi}_2 + \mathsf{O\Pi}_3 - \mathsf{O\Pi}\kappa_1 - \mathsf{O\Pi}\kappa_2 - \mathsf{O\Pi}\kappa_3}{3}\,,$$

где ОПБ – оптическая плотность биопленки; ОП $_1$ , ОП $_2$  и ОП $_3$  – оптическая плотность лунок с тестируемым штаммом; ОП $_1$ , ОП $_2$  и ОП $_3$  – оптическая плотность лунок контроля.

При получении отрицательного значения, его представляли как ноль, любое положительное значение указывало на образование биопленки.

Ввиду высокой вариабельности значений ОПБ, полученных для штаммов *S. aureus* и *K. pneumoniae*, с разной интенсивностью биопленкообразования, анализировался индекс биопленкообразования – отношение ОПБ

обработанных биопленок к ОПБ необработанных контролей, выраженное в %:

ИБ = ОПБа / ОПБк 
$$\times$$
 100,

где ИБ – индекс биопленкообразования; ОПБа – оптическая плотность биопленки, культивированной при добавлении антибиотиков и/или NAC; ОПБк – оптическая плотность биопленки в контроле.

Оценку влияния антибиотиков и NAC на интенсивность образования микробной биопленки проводили в 96-луночных плоскодонных полистироловых планшетах. Из базовых растворов с концентрацией 10 мг/мл готовили рабочие растворы, в качестве разбавителя использовали бульон Мюллера-Хинтон (для оценки влияния на биопленкообразование грамотрицательных бактерий и S. aureus) или сердечно-мозговой бульон (для оценки влияния на биопленкообразование S. pneumoniae). Концентрация хлорамфеникола и тиамфеникола в рабочих растворах составила 8 мкг/мл, что соответствует значению эпидемиологической точки отсечения (ECOFF) хлорамфеникола для S. pneumoniae. Концентрация тиамфеникола глицината ацетилцистеината составила 13 мкг/мл, или 8 мкг/мл в пересчете на тиамфеникол. Концентрация NAC составила 5 мкг/мл. В лунки планшета вносили по 150 мкл рабочего раствора на основе бульона Мюллера-Хинтон (Oxoid, Великобритания) или сердечно-мозгового бульона, с добавлением NAC, антибиотика, или их комбинации, а также 1 мкл бактериальной суспензии (0,5 единиц по стандарту мутности МакФарланда). Исследование выполняли в 3 повторах, на один изолят отводили 3 лунки ряда. Отрицательным контролем служили лунки с 150 мкл бульона Мюллера-Хинтон (или сердечно-мозгового бульона) без бактерий. Планшеты инкубировали при 35°C в течение 48 ч., далее оценивали ОПБ.

Для оценки влияния антибиотиков и NAC на уже сформированные микробные биопленки в лунки планшета вносили 150 мкл сердечно-мозгового бульона, инокулированного S. pneumoniae (106 КОЕ/мл), и инкубировали при 35°C в течение 48 ч. Планктонные клетки осторожно удаляли, лунки трехкратно промывали подогретым до 35°C изотоническим раствором хлорида натрия в объеме 150 мкл на каждый цикл отмывки, и вносили рабочие растворы антибиотиков в сердечно-мозговом бульоне (по 150 мкл на лунку). После суточной инкубации выполняли дезинтеграцию биопленок и количественную оценку входящих в их состав живых клеток. Из полученных микробных суспензий готовили 10-кратные серийно убывающие разведения в изотоническом растворе хлорида натрия (1:10 – 1:10000000). Делали высев 10 мкл из каждого разведения на сектор кровяного агара с последующей инкубацией при 35°C в течение 18 ч. и количественным учетом роста.

Статистический анализ результатов исследования был выполнен с использованием аналитического пакета «Statistica» (v10-Index, лицензия № STAФ999K347156W,

АНТИМИКРОБНЫЕ ПРЕПАРАТЫ KMAX · 2024 · Том 26 · №1

StatSoft Inc, США). Тип распределения количественных признаков определяли на основе критерия Шапиро-Уилка. При распределении признака, отличном от нормального, вычисляли медиану (Ме), нижний 25-й (LQ) и верхний 75-й квартили (UQ). Для оценки статистической значимости между несвязанными группами использовался критерий Манна-Уитни [16].

### Результаты

Минимальные подавляющие концентрации антибиотиков

Диапазоны распределения минимальных подавляющих концентраций (МПК), значения МПК $_{50}$  и МПК $_{90}$  приведены в Таблице 1. В соответствии с пограничными значениями EUCAST, чувствительность к хлорамфениколу сохраняли 62,5% штаммов S. aureus. Все штаммы S. pneumoniae имели значения МПК хлорамфеникола ниже порогового значения ECOFF 8 мг/л и были отнесены к дикому типу. Значения МПК тиамфеникола и тиамфеникола глицината ацетилцистеината (в пересчете на тиамфеникол) совпадали для 42 из 48 включенных в исследование штаммов, еще для 6 штаммов отличались на одно двукратное разведение. Значения МПК хлорамфеникола и тиамфеникола глицината ацетилцистеината (в пересчете на тиамфеникол) совпадали только для 9 из 48 включенных в исследование штаммов, для остальных штаммов они были выше в 2-4 раза.

Влияние N-ацетилцистеина и его комбинаций с антибиотиками на формирование биопленок *S. pneumoniae*, *S. aureus* и *K. pneumoniae* 

Свойство формировать биопленки было выявлено у большинства протестированных изолятов. Наибольшей способностью к биопленкообразованию характеризовались К. pneumoniae и S. aureus. Значения ОПБ для штаммов S. pneumoniae, S. aureus и К. pneumoniae, представленные в виде Ме [Q1; Q3], приведены в Таблице 2.

Обработка NAC не оказывала значимого влияния на ОПБ *S. pneumoniae*. Обработка хлорамфениколом,

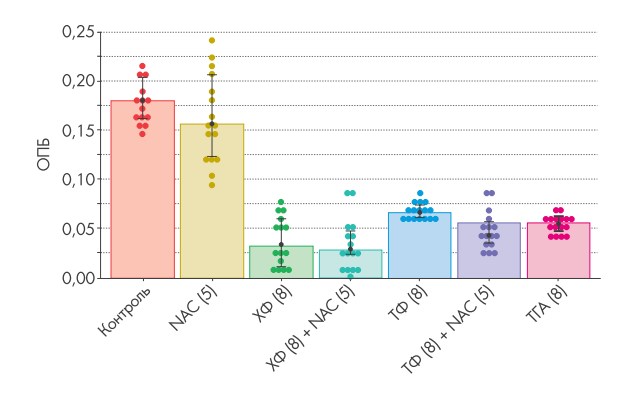


Рисунок 1. ОПБ S. pneumoniae (n = 16), обработанных антибиотиками, NAC и их комбинациями

NAC – N-ацетилцистеин;  $X\Phi$  – хлорамфеникол;  $T\Phi$  – тиамфеникол; TFA – тиамфеникола глицинат ацетилцистеинат.

В круглых скобках указана концентрация в мг/л.

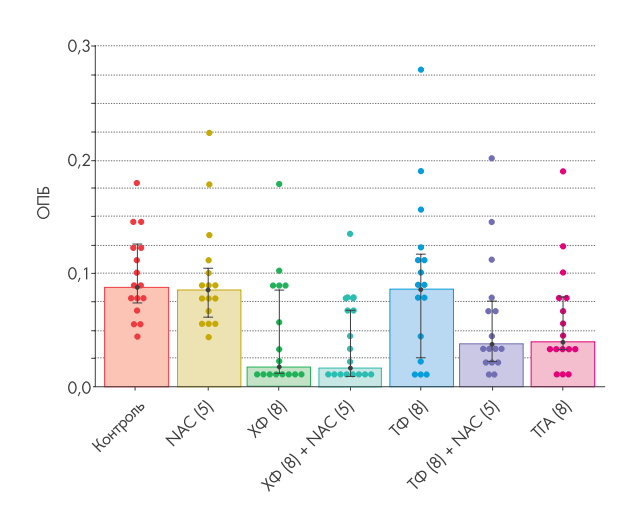
тиамфениколом, тиамфеникола глицинатом ацетилцистеинатом, комбинациями хлорамфеникола и тиамфеникола с NAC приводила к значимому снижению значений ОПБ (Рисунок 1).

Для биопленок *S. pneumoniae*, выращенных в присутствии комбинации тиамфеникола с NAC и тиамфеникола глицината ацетилцистеината, полученные значения ОПБ были значимо ниже, чем для биопленок, выращенных в присутствии только тиамфеникола. В присутствии NAC значения ОПБ для штаммов *S. aureus* и *K. pneumoniae* значимо не отличались от необработанных контролей. При культивировании биопленок *S. aureus* значения ОПБ значимо снижались в присутствии хлорамфеникола, хлорамфеникола и NAC, тиамфеникола и NAC, тиамфеникола глицината ацетилцистеината (Рисунок 2). Добавление антибиотиков и их комбинаций с NAC не приводило к статистически значимому снижению значений ОПБ для биопленок, формируемых штаммами *К. pneumoniae* (Рисунок 3).

Таблица 1. Значения МПК антибиотиков для S. pneumoniae, S. aureus и K. pneumoniae

Микроорганизм	Антибиотик	Диапазон МПК, мг/л	МПК₅о, мг/л	МПК <sub>90</sub> , мг/л
S. pneumoniae	хлорамфеникол	0,06–1	0,5	1
	тиамфеникол	0,125–2	0,5	1
	тиамфеникола глицинат ацетилцистеинат	0,125–2	0,5	2
S. aureus	хлорамфеникол	4–128	8	128
	тиамфеникол	8–512	32	512
	тиамфеникола глицинат ацетилцистеинат	8–512	32	512
K. pneumoniae	хлорамфеникол	4–512	32	512
	тиамфеникол	8–512	64	512
	тиамфеникола глицинат ацетилцистеинат	8–512	128	512

Карпова Е.В. и соавт.



**Рисунок 2.** ОПБ *S. aureus* (n = 16), обработанных антибиотиками, NAC и их комбинациями

NAC – N-ацетилцистеин;  $X\Phi$  – хлорамфеникол;  $T\Phi$  – тиамфеникол; TFA – тиамфеникола глицинат ацетилцистеинат.

В круглых скобках указана концентрация в мг/л.

В дальнейшем штаммы S. aureus и K. pneumoniae были разделены на чувствительные (МПК  $\leq 8$  мг/л) и устойчивые (МПК > 8 мг/л) к хлорамфениколу, и анализ был выполнен отдельно для каждой из групп. Значения ИБ для чувствительных и устойчивых к хлорамфениколу штаммов S. aureus и K. pneumoniae представлены в Таблице 3.

Показано, что для чувствительных к хлорамфениколу (МПК  $\leq$  8 мг/л) штаммов S. aureus и K. pneumoniae добавление антибиотиков (хлорамфеникола, тиамфеникола, тиамфеникола глицината ацетилцистеината) значимо уменьшало ИБ. Для устойчивых к хлорамфениколу (МПК > 8 мг/л) штаммов S. aureus и K. pneumoniae эффект значимого снижения ИБ отмечался только в присутствии комбинации 8 мг/л хлорамфеникола и 5 мг/л NAC. Добавление тиамфеникола оказывало обратный эффект и увеличивало интенсивность биопленкообразования у ряда устойчивых штаммов S. aureus и K. pneumoniae (различия статистически значимы для штаммов S. aureus). Добавление NAC к тиамфениколу (тиамфеникола глицинат ацетилцистеинат, комбинация тиамфеникола с NAC) нивелировало этот эффект для устойчивых штаммов, интенсивность биопленкообразования была сопоставима с соответствующими контролями.

В отношении чувствительных к хлорамфениколу (МПК ≤ 8 мг/л) штаммов *S. aureus* отмечен эффект уменьшения биопленкообразования в присутствии 8 мг/л тиамфеникола. При добавлении NAC к тиамфениколу (тиамфеникола глицинат ацетилцистеинат, комбинация тиамфеникола с NAC) эффект проявлялся более интенсивно, различия незначимы ввиду небольшого размера группы.

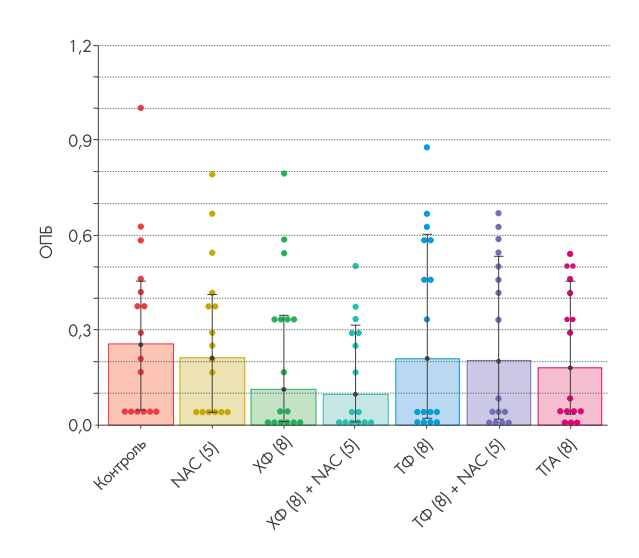


Рисунок 3. ОПБ *K. pneumoniae* (n = 16), обработанных антибиотиками, NAC и их комбинациями

NAC – N-ацетилцистеин;  $X\Phi$  – хлорамфеникол;  $T\Phi$  – тиамфеникол; TFA – тиамфеникола глицинат ацетилцистеинат.

В круглых скобках указана концентрация в мг/л.

Влияние N-ацетилцистеина и его комбинаций с тиамфениколом на выживаемость предварительно сформированных биопленок *S. pneumoniae* 

Исследование выполнено в пяти повторах со штаммом *S. pneumoniae* 12624, который характеризовался максимальным значением ОПБ среди протестированных штаммов *S. pneumoniae* и имел МПК хлорамфеникола

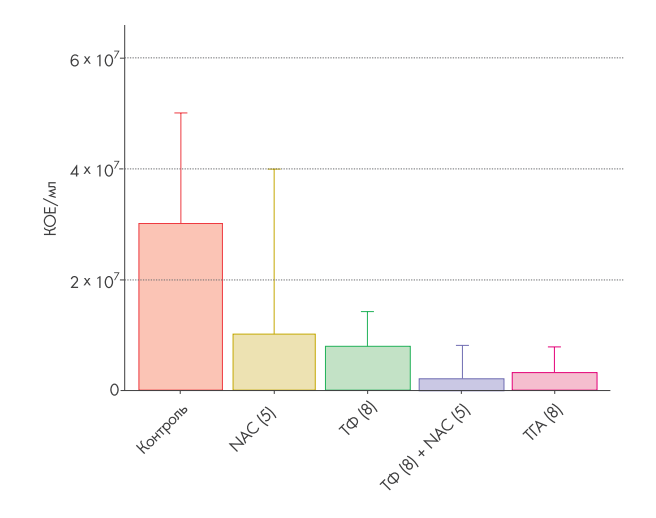


Рисунок 4. Влияние NAC, тиамфеникола и их комбинаций на выживаемость микробных клеток штамма S. pneumoniae 12624 в составе биопленки

NAC – N-ацетилцистеин;  $T\Phi$  – тиамфеникол;  $T\Gamma A$  – тиамфеникола глицинат ацетилцистеинат. В круглых скобках указана концентрация в мг/л.

АНТИМИКРОБНЫЕ ПРЕПАРАТЫ КМАХ · 2024 · Том 26 · №1

**Таблица 2.** Значения ОПБ для штаммов S. pneumoniae, S. aureus и К. pneumoniae, обработанных антибиотиками, NAC и их комбинациями

	Контроль	NAC (5 Mr/л)	ХФ (8 мг/л)	XΦ (8 мг/л) + NAC (5 мг/л)	TΦ (8 мг/л)	TΦ (8 мг/л) + NAC (5 мг/л)	TFA (8 Mr/л)
	1	2	က	4	5	9	7
S. pneumoniae	0,1804 [0,1625;0,2042]	0,1564 [0,1238;0,2061]	0,0334 [0,0117;0,0599]	0,0288 [0,0079;0,0477]	0,06655 [0,0622;0,0745]	0,04330 [0,0356;0,0572]	0,0563 [0,0481;0,0628]
р (тест Манна – Уитни)		$p_{(1-2)} = 0,1100$	p <sub>(1-3)</sub> < 0,0001	<b>p</b> (1-4) <b>&lt; 0,0001</b> p(3-4) = 0,4617	p <sub>(1-5)</sub> < 0,0001	p <sub>(1-6)</sub> < 0,0001 p <sub>(5-6)</sub> = 0,0005	$p_{(1-7)} < 0,0001$ $p_{(5-7)} = 0,0001$
S. aureus	0,0880 [0,0745;0,1265]	0,08600 [0,0620;0,1050]	0,01800 [0,0123;0,0858]	0,0170 [0,0093;0,0680]	0,0860 [0,0260;0,1178]	0,0380 [0,0225;0,0758]	0,0395 [0,0333;0,0790]
р (тест Манна – Уитни)		p <sub>(1-2)</sub> =0,6621	p(1-3) =0,0029	<b>p</b> (1-4) <b>&lt; 0,0001</b> p(3-4) = 0,2909	p <sub>(1-5)</sub> = 0,5328	<b>p</b> (1-6) <b>= 0,0031</b> p(5-6) <b>= 0,1930</b>	$p_{(1-7)} = 0,0038$ $p_{(5-7)} = 0,1305$
K. pneumoniae	0,2555 [0,0485;0,4540]	0,2115 [0,0400;0,4128]	0,1135 [0,0113;0,3458]	0,0970 [0,0100;0,3148]	0,2080 [0,0180;0,5990]	0,2040 [0,0210;0,5335]	0,1835 [0,0346;0,4553]
р (тест Манна – Уитни)		$p_{(1-2)} = 0.5147$	p <sub>(1-3)</sub> = 0,1188	$p_{(1-4)} = 0.0746$ $p_{(3-4)} = 0.5702$	p <sub>(1-5)</sub> = 0,7442	$p_{(1-6)} = 0,7034$ $p_{(5-6)} = 0,8748$	$p_{(1.7)} = 0,4971$ $p_{(5.7)} = 0,7307$

**Таблица 3.** Значения ИБ для штаммов *S. aureus и К. pneumoniae*, чувствительных и устойчивых к хлорамфениколу

	Контроль	NAC (5 Mr/n)	ΧΦ (8 мг/л)	XΦ (8 мг/л) + NAC (5 мг/л)	TΦ (8 мг/л)	TΦ (8 мг/л) + NAC (5 мг/л)	TFA (8 Mr/л)
	1	2	3	4	5	9	7
S. aureus (ΜΠΚ < 8 мг/л, n = 10)	100	87,7 [81,6;108,7]	16,1 [9,825;31,05]	11,4 [9,675;21,03]	62,7 [26,43;81,23]	31,0 [20,53;42,2]	35,9 [23,3,46,23]
р (тест Манна – Уитни)			p <sub>(2-3)</sub> < 0,0001	p <sub>(2-4)</sub> < 0,0001	p <sub>(2-5)</sub> = 0,0021	<b>p</b> <sub>(2-6)</sub> < <b>0,0001</b> p <sub>(5-6)</sub> = 0,1188	$p_{(2-7)} < 0,0001$ $p_{(5-7)} = 0,1486$
S. aureus (ΜΠΚ > 8 мг/л, n = 6)	100	92 [87,35;114]	92,85 [76,45;101,7]	71,95 [63,6;85,05]	134,3 [116,2;162,7]	100,2 [89,28;116,8]	91,9 [84,98;112]
р (тест Манна – Уитни)			p <sub>(2-3)</sub> = 0,8182	p <sub>(2-4)</sub> = 0,0087	p <sub>(2-5)</sub> = 0,0087	$p_{(2-6)} = 0.5887$ $p_{(5-6)} = 0.0087$	$p_{(5-7)} = 0,7944$ $p_{(5-7)} = 0,0043$
K. pneumoniae (MΠK ≤ 8 мг/л, n = 6)	100	77,25 [65,85;92,1]	14,25 [4,575;23,08]	14,8 [3,975;25,85]	24,65 [13,83;43,3]	30,4 [14,68;52,78]	31,85 [23,45;54,58]
р (тест Манна – Уитни)			p <sub>(2·3)</sub> = 0,0022	p <sub>(2-4)</sub> = 0,0022	p <sub>(2-5)</sub> = 0,0087	<b>p</b> <sub>(2-6)</sub> = <b>0,0260</b> p <sub>(5-6)</sub> = 0,6991	$p_{(2.7)} = 0,0260$ $p_{(5.7)} = 0,3939$
K. pneumoniae (МПК > 8 мг/л, n = 10)	100	91,8 [78,9;112,4]	80,2 [73;92,9]	74,85 [68,45;79,13]	117,9 [99,8;151,8]	112,1 [93,53;147,8]	103 [67,45;119,2]
р (тест Манна – Уитни)			p <sub>(2.3)</sub> = 0,2176	p <sub>(2-4)</sub> = 0,0089	$p_{(2.5)} = 0,1431$	$p_{(2-6)} = 0,1903$ $p_{(5-6)} = 0,7394$	$p_{(2.7)} = 0,5787$ $p_{(5.7)} = 0,1230$

КМАХ · 2024 · Том 26 · №1

0.25 мг/л, МПК тиамфеникола 0.25 мг/л, МПК тиамфеникола глицината 0.25 мг/л.

Результаты количественного определения жизнеспособных микробных клеток в составе предварительно сформированных биопленок после их 48-часовой инкубации в присутствии NAC, тиамфеникола и их комбинаций представлены на Рисунке 4. Количество жизнеспособных бактерий было наименьшим в случае обработки предварительно сформированных биопленок тиамфеникола глицинатом ацетилцистеинатом и комбинацией тиамфеникола с NAC, и значимо отличалось от количества жизнеспособных бактерий в составе необработанных биопленок (р < 0,05).

### Обсуждение

В проведенном исследовании МПК тиамфеникола в отношении штаммов S. aureus и K. pneumoniae варьировала в широком диапазоне. Похожие результаты получены при анализе данных литературных источников, однако характеризуются меньшими значениями МПК $_{50}$  и МПК $_{90}$  для исследуемых штаммов S. aureus и К. pneumoniae [4, 16]. Стоит отметить, что среди штаммов S. pneumoniae не было выявлено изолятов, устойчивых к тиамфениколу, МПК не превышало 2 мг/л. В работе Marchese A. и соавт. тиамфеникол проявил высокую микробиологическую активность в отношении штаммов S. pneumoniae с множественной устойчивостью к антибиотикам, диапазон МПК составил 2-64 мг/л (МПК $_{50}$  – 4 мг/л и МПК $_{90}$  – 64 мг/л). При этом активность тиамфеникола in vitro была равна или превосходила таковую хлорамфеникола [16]. Albini E. и соавт. показали антибактериальную активность in vitro тиамфеникола глицината ацетилцистеината в отношении респираторных патогенов. Активность тиамфеникола превышала активность эритромицина в отношении H. influenzae и S. pneumoniae (диапазон МПК 1-32 мг/, МПК $_{50}$  – 2 мг/л и МПК $_{90}$  – 32 мг/л) [18].

Давно известен факт существования бактерий не только в виде отдельных микроорганизмов, но и в составе биопленок, где они приобретают новые свойства, в том числе и устойчивость к высоким концентрациям антибиотиков, которые могут в 10–1000 раз превышать таковые для планктонных форм. В связи с этим эффективность большинства режимов санации может оказаться недостаточной [19]. Комбинация антибиотиков с другими альтернативными методами лечения является многообещающей стратегией против бактериальных биопленок [20].

Многочисленные исследования in vitro показали, что NAC эффективен в ингибировании образования биопленок, разрушении уже сформированного экзополимерного матрикса, а также снижении жизнеспособности бактерий в их составе. Способность NAC препятствовать росту бактерий и формированию биопленок была впервые показана в отношении Staphylococcus epidermidis [21]. Исходя из литературных данных, NAC демонстрировал антибиопленочную

эффективность также в отношении широкого круга микроорганизмов, включая грамотрицательные и грамположительные бактерии, а также дрожжи [22, 23]. Выявлена способность NAC нарушать строение экзополимерного матрикса и, как следствие, способствовать разрушению биопленок [24, 25].

Проведенное исследование демонстрирует, что из входящих в спектр антибактериальной активности тиамфеникола микроорганизмов наибольшей способностью к биопленкообразованию обладают штаммы K. pneumoniae и S. aureus. Тиамфеникол способен стимулировать биопленкообразование у ряда устойчивых к нему штаммов S. aureus и K. pneumoniae, добавление к тиамфениколу NAC нивелировало данный эффект. Для биопленок S. pneumoniae, выращенных в присутствии комбинации тиамфеникола с NAC либо тиамфеникола глицината ацетилцистеината, полученные значения ОПБ были значимо ниже, чем для биопленок, выращенных в присутствии только тиамфеникола (р < 0,0001). Отмечено, что для чувствительных к хлорамфениколу (МПК ≤ 8 мг/л) штаммов S. aureus и K. pneumoniae добавление антибиотиков (хлорамфеникола, тиамфеникола, тиамфеникола глицината ацетилцистеината) значимо уменьшало индекс биопленкообразования, в то время как для устойчивых штаммов S. aureus и K. pneumoniae снижение интенсивности биопленкообразования отмечена только в присутствии комбинации хлорамфеникола и NAC.

К настоящему времени клинических исследований по применению NAC в терапии инфекций, связанных с формированием бактериальных биопленок, проведено немного, однако есть ряд доказательств того, что NAC отдельно либо в сочетании с антибиотиками может снижать риск обострений хронического бронхита, хронической обструктивной болезни легких и риносинусита. В большинстве опубликованных результатов исследований использовались пероральные или внутримышечные формы NAC [26].

Исследование Llamosi M. и соавт. демонстрирует синергидный эффект между пероральными цефалоспоринами и NAC для предотвращения адгезии пневмококков в нижних дыхательных путях и лечения пневмококковой пневмонии в мышиной модели [27]. В исследовании Macchi A. и соавт. показана высокая эффективность внутримышечного и ингаляционного введения тиамфеникола глицината ацетилцистеината в лечении пациентов с рецидивирующими инфекциями верхних дыхательных путей. Из 24 пациентов с подтвержденным при помощи сканирующей электронной микроскопии наличием биопленок S. aureus, S. pyogenes, S. pneumoniae и H. influenzae в биоптатах слизистых, терапия тиамфеникола глицинатом ацетилцистеинатом позволила достичь клинического выздоровления и микробиологической эрадикации у 21 (87,5%) пациентов [28].

При изучении влияния NAC и его комбинаций с тиамфениколом на выживаемость предварительно сформированных биопленок S. pneumoniae нами было установлено, что количество жизнеспособных бактерий было АНТИМИКРОБНЫЕ ПРЕПАРАТЫ KMAX · 2024 · Том 26 · №1

наименьшим в случае обработки биопленок тиамфеникола глицинатом ацетилцистеинатом либо комбинацией тиамфеникола с NAC и значимо отличалось от необработанных контролей, предполагая целесообразность использования подобных стратегий *in vivo*.

### Заключение

Оценено влияние антибиотиков (хлорамфеникола, тиамфеникола) и комбинаций антибиотиков с NAC на интенсивность биопленкообразования штаммов *S. pneumoniae*, *S. aureus* и *K. pneumoniae*. Значения МПК тиамфеникола и тиамфеникола глицината ацетилцистеината (в пересчете на тиамфеникол) совпадали для 87,5% штаммов. Показана высокая микробиологическая ак-

тивность тиамфеникола и тиамфеникола глицината ацетилцистеината в отношении штаммов *S. pneumoniae*. Для штаммов *S. pneumoniae* обработка хлорамфениколом, тиамфениколом, тиамфеникола глицинатом ацетилцистеинатом, комбинацией хлорамфеникола и тиамфеникола с NAC приводило к значимому снижению значений ОПБ. Добавление тиамфеникола увеличивало интенсивность биопленкообразования у ряда устойчивых к нему штаммов *S. aureus* и *К. pneumoniae*, однако обработка биопленок производным тиамфеникола – тиамфеникола глицинатом ацетилцистеинатом нивелировало данный эффект, что указывает на потенциал антибактериальной активности данного препарата в отношении штаммов *S. pneumoniae* и образуемых ими биопленок и его применения в клинической практике.

## Литература

- Lombardi A., Drago L., De Vecchi E., Mombelli B., Gismondo M. Antimicrobial activity of thiamphenicol-glycinate-acetylcysteinate and other drugs against *Chlamydia pneumoniae*. Arzneimittelforschung. 2001;51(3):264-267. DOI: 10.1055/s-0031-1300034
- 2. O'Grady F, Pearson N., Dennis C. Thiamphenicol and chloramphenicol: an *in vitro* comparison with particular reference to bactericidal activity. Chemotherapy. 1980;26(2):116-120. DOI: 10.1159/000237892
- 3. Ivanchik N.V., Sukhorukova M.V., Chagaryan A.N., Trushin I.V., Dekhnich A.V., Kozlov R.S. In vitro activity of thiamphenicol against Haemophilus influenzae, Streptococcus pneumoniae and Streptococcus pyogenes clinical isolates. Kliniceskaa mikrobiologia i antimikrobnaa himioterapia. 2021;23(1):92-99. Russian. (Иванчик Н.В., Сухорукова М.В., Чагарян А.Н., Трушин И.В., Дехнич А.В., Козлов Р.С. In vitro активность тиамфеникола в отношении клинических изолятов Haemophilus influenzae, Streptococcus pneumoniae и Streptococcus pyogenes. Клиническая микробиология и антимикробная химиотерапия. 2021;23(1):92-99.) DOI: 10.36488/cmac.2021.1.92-99
- Drago L., De Vecchi E., Fassina M., Mombelli B., Tocalli L., Gismondo M. Comparative in vitro activity of thiamphenicol-glycinate and thiamphenicol-glycinate-acetylcysteinate and other antimicrobials against respiratory pathogens. Arzneimittelforschung. 2001;51(4):315-324. DOI: 10.1055/s-0031-1300044
- 5. Belevskiy A., Knyazheskaya N. Thiamphenicol glycinate acetylcysteinate for the treatment of acute and chronic pulmonary diseases. Practical pulmonology. 2017;3:122-126. Russian. (Белевский А.С, Княжеская Н.П. Тиамфеникола глицинат ацетилцистеинат: некоторые аспекты применения при острых и хронических легочных заболеваниях. Практическая пульмонология. 2017;3:122-126.)
- 6. Serra A., Schito G., Nicoletti G., Fadda G. A therapeutic

- approach in the treatment of infections of the upper airways: thiamphenicol glycinate acetylcysteinate in sequential treatment (systemic-inhalatory route). Int J Immunopathol Pharmacol. 2007;20(3):607-617. DOI: 10.1177/039463200702000319
- Bjarnsholt T. The role of bacterial biofilms in chronic infections. APMIS Suppl. 2013;136:1-51. DOI: 10.1111/ apm.12099
- Kostakioti M., Hadjifrangiskou M., Hultgren S. Bacterial biofilms: development, dispersal, and therapeutic strategies in the dawn of the postantibiotic era. Cold Spring Harb Perspect Med. 2013;3(4):a010306. DOI: 10.1101/ cshperspect.a010306
- Lebeaux D., Ghigo J., Beloin C. Biofilm-related infections: bridging the gap between clinical management and fundamental aspects of recalcitrance toward antibiotics. Microbiol Mol Biol Rev. 2014;78(3):510-543. DOI: 10.1128/MMBR.00013-14
- Akbarian M., Chen S., Kianpour M., Farjadian F., Tayebi L., Uversky V. A review on biofilms and the currently available antibiofilm approaches: matrix-destabilizing hydrolases and anti-bacterial peptides as promising candidates for the food industries. Int J Biol Macromol. 2022;219:1163-1179. DOI: 10.1016/j.ijbiomac.2022.08.192
- Amankwah S., Abdella K., Kassa T. Bacterial biofilm destruction: a focused review on the recent use of phagebased strategies with other antibiofilm agents. Nanotechnol Sci Appl. 2021;14:161-177. DOI: 10.2147/NSA. S325594
- Zhang L., Bera H., Wang H., Wang J., Guo Y., Shi C., et al. Combination and nanotechnology based pharmaceutical strategies for combating respiratory bacterial biofilm infections. Int J Pharm. 2022;616:121507. DOI: 10.1016/j.ijpharm.2022.121507
- Dieltjens L., Appermans K., Lissens M., Lories B., Kim W., Van der Eycken E., et al. Inhibiting bacterial cooperation is

Карпова Е.В. и соавт.

КМАХ · 2024 · Том 26 · №1

an evolutionarily robust anti-biofilm strategy. Nat Commun. 2020;11:107. DOI: 10.1038/s41467-019-13660-x

- 14. ISO 20776-1:2006 «Clinical laboratory testing and in vitro diagnostic test systems Susceptibility testing of infectious agents and evaluation of performance of antimicrobial susceptibility test devices» Part 1: Reference method for testing the in vitro activity of antimicrobial agents against rapidly growing aerobic bacteria involved in infectious diseases.
- Stepanovic S., Vukovic D., Hola V., Di Bonaventura G., Djukic S., Cirković I., et al. Quantification of biofilm in microtiter plates: overview of testing conditions and practical recommendations for assessment of biofilm production by staphylococci. APMIS. 2007;115(8):891-899. DOI: 10.1111/j.1600-0463.2007
- Rebrova O.Yu. Statistical analysis of medical data. Using the Statistica software package. M.: Media Sphera, 2002. 305 p. Russian. (Реброва О.Ю. Статистический анализ медицинских данных. Применение пакета прикладных программ Statistica. M.: Медиа Сфера, 2002. 305 с.).
- Marchese A., Debbia E., Tonoli E., Gualco L., Schito A. In vitro activity of thiamphenicol against multiresistant Streptococcus pneumoniae, Haemophilus influenzae and Staphylococcus aureus in Italy. J Chemother. 2002;14:554-561. DOI: 10.1179/joc.2002.14.6.554
- Albini E., Belluco G., Berton M., Schioppacassi G., Ungheri D. *In vitro* antibacterial activity of thiamphenicol glycinate acetylcysteinate against respiratory pathogens. Arzneimittelforschung. 1999;49(6):533-537. DOI: 10.1055/s-0031-1300456
- Ciofu O., Moser C., Jensen P., Hoiby N. Tolerance and resistance of microbial biofilms. Nat Rev Microbiol. 2022;20(10):621-635. DOI: 10.1038/s41579-022-00682-4
- Domenech M., Sempere J., de Miguel S., Yuste J. Combination of antibodies and antibiotics as a promising strategy against multidrug-resistant pathogens of the respiratory tract. Front Immunol. 2018;9:2700. DOI: 10.3389/fimmu.2018.02700
- 21. Pérez-Giraldo C., Rodríguez-Benito A., Morán F.,

- Hurtado C., Blanco M., Gómez-García A. Influence of N-acetylcysteine on the formation of biofilm by *Staphylococcus epidermidis*. J Antimicrob Chemother. 1997;39:643-646. DOI 10.1093/jac/39.5.643
- Domenech M., Garcia E. N-Acetyl-L-cysteine and cysteamine as new strategies against mixed biofilms of nonencapsulated Streptococcus pneumoniae and nontypeable Haemophilus influenzae. Antimicrob Agents Chemother. 2017;61:e01992-16. DOI: 10.1128/AAC.01992-16
- Zhao T., Liu Y. N-acetylcysteine inhibit biofilms produced by Pseudomonas aeruginosa. BMC Microbiol. 2010;10:140. DOI: 10.1186/1471-2180-10-140
- Drago L., De Vecchi E., Mattina R., Romanò C. Activity of N-acetyl-L-cysteine against biofilm of *Staphylococcus* aureus and *Pseudomonas aeruginosa* on orthopedic prosthetic materials. Int J Artif Organs. 2013;36:39-46. DOI: 10.5301/ijao.5000135
- Domenech M., Pedrero-Vega E., Prieto A., Garcia E. Evidence of the presence of nucleic acids and beta-glucan in the matrix of non-typeable *Haemophilus influenzae in* vitro biofilms. Sci Rep. 2016;6:36424. DOI: 10.1038/ srep36424
- Blasi F., Page C., Rossolini G., Pallecchi L., Matera M., Rogliani P., Cazzola M. The effect of N-acetylcysteine on biofilms: Implications for the treatment of respiratory tract infections. Respir Med. 2016;117:190-197. DOI: 10.1016/j.rmed.2016.06.015
- Llamosí M., Sempere J., Coronel P., Gimeno M., Yuste J., Domenech M. Combination of cefditoren and n-acetyll-cysteine shows a synergistic effect against multidrugresistant *Streptococcus pneumoniae* biofilms. Microbiol Spectr. 2022;10(6):e0341522. DOI: 10.1128/ spectrum.03415-22
- 28. Macchi A., Ardito F., Marchese A., Schito G.C., Fadda G. Efficacy of N-acetyl-cysteine in combination with thiamphenicol in sequential (intramuscular/aerosol) therapy of upper respiratory tract infections even when sustained by bacterial biofilms. J Chemother. 2006;18(5):507-513. DOI: 10.1179/joc.2006.18.5.507